

Methods & Algorithms

(formerly known as Introduction to Data Science)

FS 2023

Prof. Dr. rer. nat. habil. Ralf-Peter Mundani
DAViS

Tensoren (nicht TensorFlow 😊)

- so etwas wie eine Definition
 - Tensoren sind **mehrdimensionale Reihungen (Arrays)** und damit eine Generalisierung von Matrizen in höhere Dimensionen
 - erstes Auftauchen im Bereich der Psychometrie
 - nicht zu verwechseln mit (Spannungs)Tensoren aus der Physik und dem Ingenieurwesen
- typische Einsatzgebiete
 - Dimensionsreduktion; Kompression von Bild- / Videodaten
 - Klassifikation
 - Deep Learning
 - *Offenlegung* latenter Information / latenter Beziehungen
 - ...

Tensoren (nicht TensorFlow 😊)

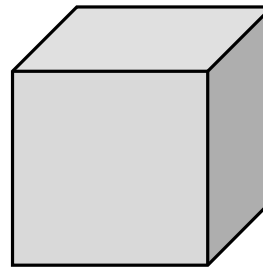
- Tensorordnung
 - Anzahl der Dimensionen (auch als Mode bezeichnet)



1-Mode-Tensor
(Vektor)



2-Mode-Tensor
(Matrix)



3-Mode-Tensor



N-Mode-Tensor

- Tensorelemente
 - i -tes Element eines Vektors $\vec{v} \rightarrow v_i$
 - Element (i, j) einer Matrix $\mathbf{A} \rightarrow a_{ij}$
 - Element (i, j, k) eines 3-Mode-Tensors $\mathcal{X} \rightarrow x_{ijk}$

Lineare Algebra: Matrix Reloaded ☺

Kennen wir schon.

- dyadisches (äusseres) Produkt $\vec{v} \cdot \vec{w}^T$

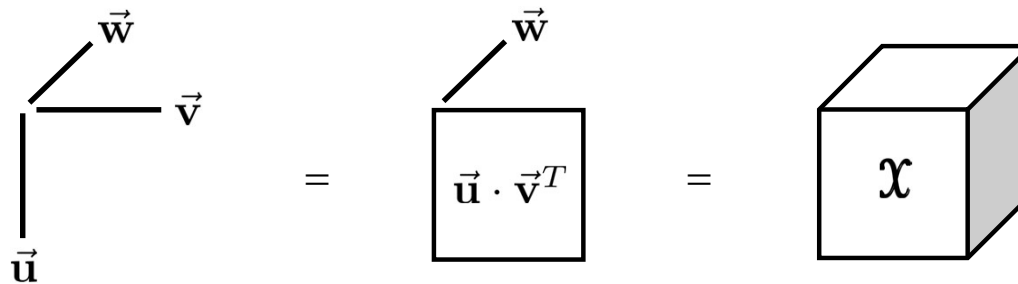
$$\vec{v} \cdot \vec{w}^T = \begin{pmatrix} v_{x_1} \\ v_{x_2} \\ \vdots \\ v_{x_m} \end{pmatrix} \cdot (w_{x_1} \ w_{x_2} \ \cdots \ w_{x_n}) = \underbrace{\begin{pmatrix} v_{x_1} \cdot w_{x_1} & v_{x_1} \cdot w_{x_2} & \cdots & v_{x_1} \cdot w_{x_n} \\ v_{x_2} \cdot w_{x_1} & v_{x_2} \cdot w_{x_2} & \cdots & v_{x_2} \cdot w_{x_n} \\ \vdots & \vdots & \ddots & \vdots \\ v_{x_m} \cdot w_{x_1} & v_{x_m} \cdot w_{x_2} & \cdots & v_{x_m} \cdot w_{x_n} \end{pmatrix}}_{|m \times n|} = \mathbf{A}$$

- Beispiel: $\vec{v} = \begin{pmatrix} 3 \\ 1 \\ 2 \end{pmatrix}, \vec{w} = \begin{pmatrix} 4 \\ 0 \\ 3 \end{pmatrix}$

$$\vec{v} \cdot \vec{w}^T = \begin{pmatrix} 3 \\ 1 \\ 2 \end{pmatrix} \cdot (4 \ 0 \ 3) = \begin{pmatrix} 3 \cdot 4 & 3 \cdot 0 & 3 \cdot 3 \\ 1 \cdot 4 & 1 \cdot 0 & 1 \cdot 3 \\ 2 \cdot 4 & 2 \cdot 0 & 2 \cdot 3 \end{pmatrix} = \begin{pmatrix} 12 & 0 & 9 \\ 4 & 0 & 3 \\ 8 & 0 & 6 \end{pmatrix}$$

Lineare Algebra: Matrix Reloaded 😊

- was passiert bei drei (oder mehr) Vektoren...?
 - äusseres Produkt dreier Vektoren $\vec{u} \circ \vec{v} \circ \vec{w} = \mathcal{X}$



- Beispiel

$$\vec{u} = \begin{pmatrix} 3 \\ 1 \\ 2 \end{pmatrix}, \vec{v} = \begin{pmatrix} 4 \\ 0 \\ 3 \end{pmatrix}, \vec{w} = \begin{pmatrix} 2 \\ 3 \end{pmatrix} \rightarrow \underbrace{\begin{pmatrix} 12 & 0 & 9 \\ 4 & 0 & 3 \\ 8 & 0 & 6 \end{pmatrix}}_{\vec{u} \cdot \vec{v}^T} \circ \begin{pmatrix} 2 \\ 3 \end{pmatrix} \rightarrow \left\{ \begin{array}{ccc|c} & 36 & 0 & 27 \\ & 12 & 0 & 9 \\ & 24 & 0 & 18 \\ \hline 24 & 0 & 18 & \\ 8 & 0 & 6 & \\ 16 & 0 & 12 & \end{array} \right\} \mathcal{X}$$

Lineare Algebra: Matrix Reloaded 😊



- Berechnung des dyadischen Produkts

```
np.outer(vec1, vec2)
```

- Berechnung des äusseren Produkts

```
np.einsum('i,j,... -> ij...', vec1, vec2, ...)
```

- Beispiel: äusseres Produkt dreier Vektoren $\vec{u} \circ \vec{v} \circ \vec{w} = \mathcal{X}$

```
u = [3, 1, 2]
```

```
v = [4, 0, 3]
```

```
w = [2, 3, 4]
```

```
X = np.einsum('i,j,k->ijk', u, v, w)
```

Lineare Algebra: Matrix Revolutions 😊

- weitere Matrixprodukte
 - Kronecker-Produkt $\mathbf{A} \otimes \mathbf{B}$ mit $\mathbf{A} (m \times n)$ und $\mathbf{B} (k \times l)$

$$\mathbf{A} \otimes \mathbf{B} = \underbrace{\begin{pmatrix} a_{11}\mathbf{B} & a_{12}\mathbf{B} & \cdots & a_{1n}\mathbf{B} \\ a_{21}\mathbf{B} & a_{22}\mathbf{B} & \cdots & a_{2n}\mathbf{B} \\ \vdots & \vdots & \ddots & \vdots \\ a_{m1}\mathbf{B} & a_{m2}\mathbf{B} & \cdots & a_{mn}\mathbf{B} \end{pmatrix}}_{|mk \times nl|}$$

- Beispiel

$$\mathbf{A} = \begin{pmatrix} \boxed{2} & \boxed{1} \\ \boxed{1} & \boxed{3} \end{pmatrix}, \mathbf{B} = \begin{pmatrix} 3 & 3 \\ -2 & 4 \end{pmatrix} \rightarrow \mathbf{A} \otimes \mathbf{B} = \begin{pmatrix} \boxed{6} & \boxed{6} & \boxed{3} & \boxed{3} \\ \boxed{-4} & \boxed{8} & \boxed{-2} & \boxed{4} \\ \boxed{3} & \boxed{3} & \boxed{9} & \boxed{9} \\ \boxed{-2} & \boxed{4} & \boxed{-6} & \boxed{12} \end{pmatrix}$$

Lineare Algebra (Teil 3): Matrix Revolutions ☺

- weitere Matrixprodukte

- **Khatri-Rao-Produkt** $\mathbf{A} \odot \mathbf{B}$ mit $\mathbf{A} (m \times n)$ und $\mathbf{B} (k \times n)$
- spaltenweises Kronecker-Produkt mit \mathbf{a}_i und \mathbf{b}_i als i -te Spalte von \mathbf{A} bzw. \mathbf{B}

$$\mathbf{A} \odot \mathbf{B} = \underbrace{(\mathbf{a}_1 \otimes \mathbf{b}_1 \quad \mathbf{a}_2 \otimes \mathbf{b}_2 \quad \cdots \quad \mathbf{a}_n \otimes \mathbf{b}_n)}_{|mk \times n|}$$

- Beispiel: $\mathbf{A} = \begin{pmatrix} 2 & 1 \\ 1 & 3 \end{pmatrix}, \mathbf{B} = \begin{pmatrix} 3 & 3 \\ -2 & 4 \end{pmatrix}$

$$\mathbf{A} \odot \mathbf{B} = \left(\begin{pmatrix} 2 \\ 1 \end{pmatrix} \otimes \begin{pmatrix} 3 \\ -2 \end{pmatrix} \quad \begin{pmatrix} 1 \\ 3 \end{pmatrix} \otimes \begin{pmatrix} 3 \\ 4 \end{pmatrix} \right) = \begin{pmatrix} 6 & 3 \\ -4 & 4 \\ 3 & 9 \\ -2 & 12 \end{pmatrix}$$

Lineare Algebra: Matrix Revolutions ☺

- weitere Matrixprodukte
 - Hadamard-Produkt $\mathbf{A} * \mathbf{B}$ mit \mathbf{A} und \mathbf{B} jeweils $(m \times n)$

$$\mathbf{A} * \mathbf{B} = \underbrace{\begin{pmatrix} a_{11}b_{11} & a_{12}b_{12} & \cdots & a_{1n}b_{1n} \\ a_{21}b_{21} & a_{22}b_{22} & \cdots & a_{2n}b_{2n} \\ \vdots & \vdots & \ddots & \vdots \\ a_{m1}b_{m1} & a_{m2}b_{m2} & \cdots & a_{mn}b_{mn} \end{pmatrix}}_{|m \times n|}$$

- Beispiel

$$\mathbf{A} = \begin{pmatrix} 2 & 1 \\ 1 & 3 \end{pmatrix}, \mathbf{B} = \begin{pmatrix} 3 & 3 \\ -2 & 4 \end{pmatrix} \quad \rightarrow \quad \mathbf{A} * \mathbf{B} = \begin{pmatrix} 6 & 3 \\ -2 & 12 \end{pmatrix}$$

Lineare Algebra: Matrix Revolutions 😊



- Paket `tensorly`

- Kronecker-Produkt $A \otimes B$

```
import tensorly as tl  
tl.tenalg.kronecker((A, B))
```

- Khatri-Rao-Produkt $A \odot B$

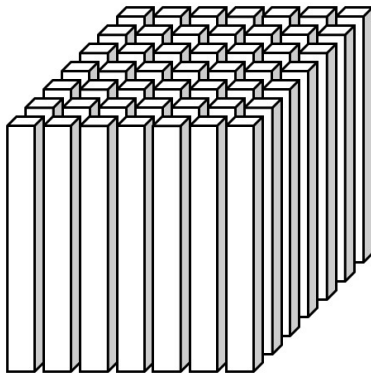
```
tl.tenalg.khatri_rao((A, B))
```

- Hadamard-Produkt $A * B$ 😊

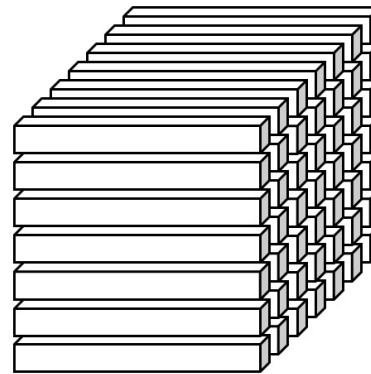
A*B

Von Fasern, Schichten und anderen Ballaststoffen...

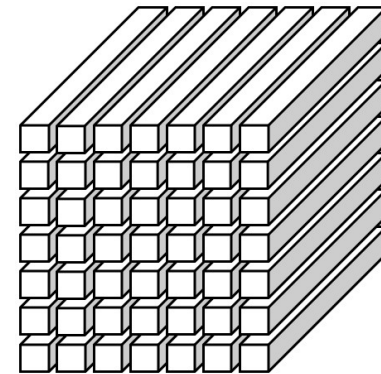
- Tensorfasern
 - höherdimensionales Analogon zu Zeilen / Spalten einer Matrix
 - Entstehung durch 'Festhalten' aller Indizes **bis auf einen**
- Beispiel: 3-Mode Tensor \mathcal{X}
 - Spalten-, Zeilen und Röhrenfasern als $\mathbf{x}_{:jk}$, $\mathbf{x}_{i:k}$ bzw. $\mathbf{x}_{ij:}$



Mode-0-Fasern $\mathbf{x}_{:jk}$



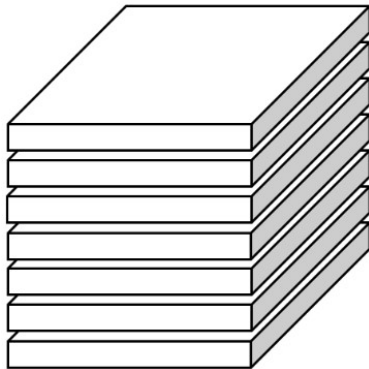
Mode-1-Fasern $\mathbf{x}_{i:k}$



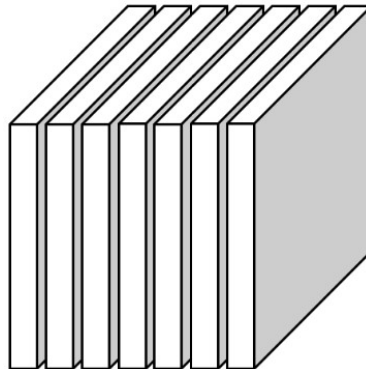
Mode-2-Fasern $\mathbf{x}_{ij:}$

Von Fasern, Schichten und anderen Ballaststoffen...

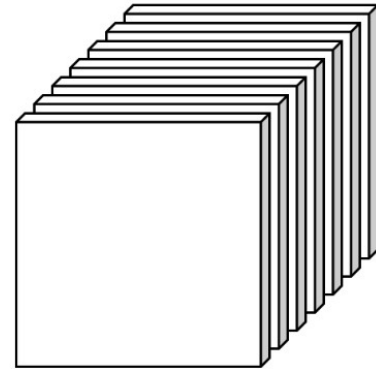
- Tensorschichten
 - zweidimensionaler Ausschnitt eines Tensors
 - Entstehung durch 'Festhalten' aller Indizes bis auf zwei
- Beispiel: 3-Mode Tensor \mathcal{X}
 - horizontale, laterale und frontale Schichten als $\mathbf{X}_{i::}$, $\mathbf{X}_{:j:}$ bzw. $\mathbf{X}_{::k}$



horizontale Schichten $\mathbf{X}_{i::}$



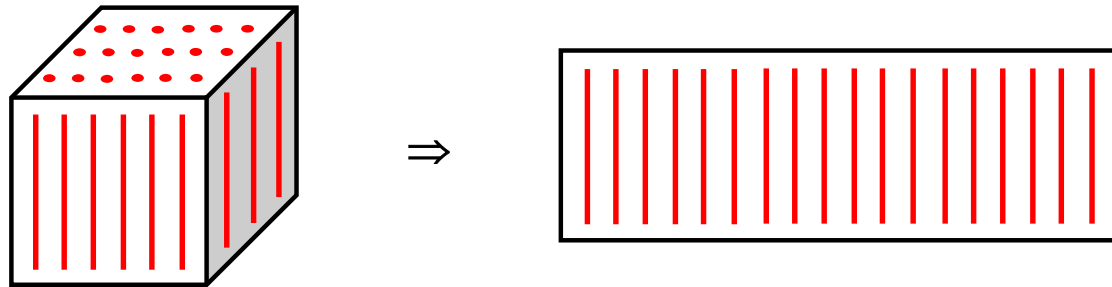
laterale Schichten $\mathbf{X}_{:j:}$



frontale Schichten $\mathbf{X}_{::k}$

Von Fasern, Schichten und anderen Ballaststoffen...

- Matrifizierung (Entfaltung / Ebnung eines Tensors)
 - Idee: Umordnung der Elemente eines N -Mode Tensors in eine Matrix
 - Mode- n -Matrifizierung $\mathbf{X}_{(n)} \rightarrow$ Umordnung der Mode- n -Fasern als Spalten



Von Fasern, Schichten und anderen Ballaststoffen...

- Matrifizierung (Entfaltung / Ebnung eines Tensors)
 - Beispiel: 3-Mode Tensor \mathcal{X} ($3 \times 4 \times 2$) als frontale Schichten

$$\mathbf{X}_{::0} = \begin{bmatrix} 1 & 3 & 5 & 7 \\ 9 & 11 & 13 & 15 \\ 17 & 19 & 21 & 23 \end{bmatrix} \quad \mathbf{X}_{::1} = \begin{bmatrix} 2 & 4 & 6 & 8 \\ 10 & 12 & 14 & 16 \\ 18 & 20 & 22 & 24 \end{bmatrix}$$

⇒ **Mode-0-Entfaltung** zuerst X_0 erste Spalte als Spalte, dann X_1 erste Spalte als Spalte, X_0 zweite Spalte....

$$\mathbf{X}_{(0)} = \begin{bmatrix} 1 & 2 & 3 & 4 & 5 & 6 & 7 & 8 \\ 9 & 10 & 11 & 12 & 13 & 14 & 15 & 16 \\ 17 & 18 & 19 & 20 & 21 & 22 & 23 & 24 \end{bmatrix}$$

Von Fasern, Schichten und anderen Ballaststoffen...

- Matrifizierung (Entfaltung / Ebnung eines Tensors)
 - Beispiel: 3-Mode Tensor \mathcal{X} ($3 \times 4 \times 2$) als frontale Schichten

$$\mathbf{X}_{::0} = \begin{bmatrix} 1 & 3 & 5 & 7 \\ 9 & 11 & 13 & 15 \\ 17 & 19 & 21 & 23 \end{bmatrix} \quad \mathbf{X}_{::1} = \begin{bmatrix} 2 & 4 & 6 & 8 \\ 10 & 12 & 14 & 16 \\ 18 & 20 & 22 & 24 \end{bmatrix}$$

⇒ **Mode-1-Entfaltung**

zuerst X_0 erste Zeile als Spalte, dann X_1 erste Zeile als Spalte,
 X_0 zweite Zeile als Spalte....

$$\mathbf{X}_{(1)} = \begin{bmatrix} 1 & 2 & 9 & 10 & 17 & 18 \\ 3 & 4 & 11 & 12 & 19 & 20 \\ 5 & 6 & 13 & 14 & 21 & 22 \\ 7 & 8 & 15 & 16 & 23 & 24 \end{bmatrix}$$

Von Fasern, Schichten und anderen Ballaststoffen...

- Matrifizierung (Entfaltung / Ebnung eines Tensors)
 - Beispiel: 3-Mode Tensor \mathcal{X} ($3 \times 4 \times 2$) als frontale Schichten

$$\mathbf{X}_{::0} = \begin{bmatrix} 1 & 3 & 5 & 7 \\ 9 & 11 & 13 & 15 \\ 17 & 19 & 21 & 23 \end{bmatrix} \quad \mathbf{X}_{::1} = \begin{bmatrix} 2 & 4 & 6 & 8 \\ 10 & 12 & 14 & 16 \\ 18 & 20 & 22 & 24 \end{bmatrix}$$

räumliche 3. Dimension

⇒ **Mode-2-Entfaltung** erste Wert in Zeile aus X_0 in 1. Spalte 1. Zeile,
erster Wert in Zeile aus X_1 in 1. Spalte 2. Zeile
zweiter Wert in Zeile aus X_0 in 2. Spalte 1. Zeile...

$$\mathbf{X}_{(2)} = \begin{bmatrix} 1 & 3 & 5 & 7 & 9 & 11 & 13 & 15 & 17 & 19 & 21 & 23 \\ 2 & 4 & 6 & 8 & 10 & 12 & 14 & 16 & 18 & 20 & 22 & 24 \end{bmatrix}$$

Von Fasern, Schichten und anderen Ballaststoffen...



- Erzeugen eines Tensors \mathbf{X} ($3 \times 4 \times 2$)

```
x = np.arange(24).reshape((3, 4, 2))
```

```
x = x + 1    // Zahlen liegen in [0,23] → Zahlen liegen in [1,24]
```

- Darstellen der frontalen Schichten $\mathbf{X}_{::0}$ und $\mathbf{X}_{::1}$

```
x[:, :, 0]
```

```
x[:, :, 1]
```

- Mode- n -Entfaltung $\mathbf{X}_{(0)}$, $\mathbf{X}_{(1)}$ und $\mathbf{X}_{(2)}$

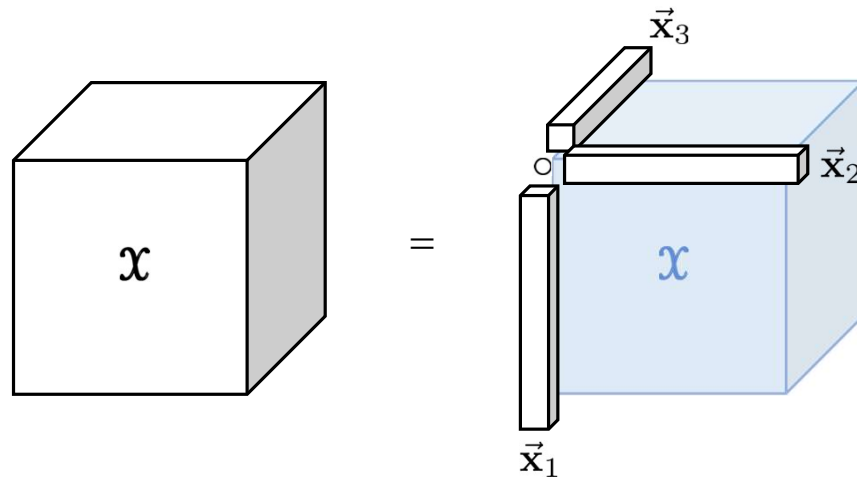
```
t1.unfold(x, 0)
```

```
t1.unfold(x, 1)
```

```
t1.unfold(x, 2)
```

Tensorfaktorisierung

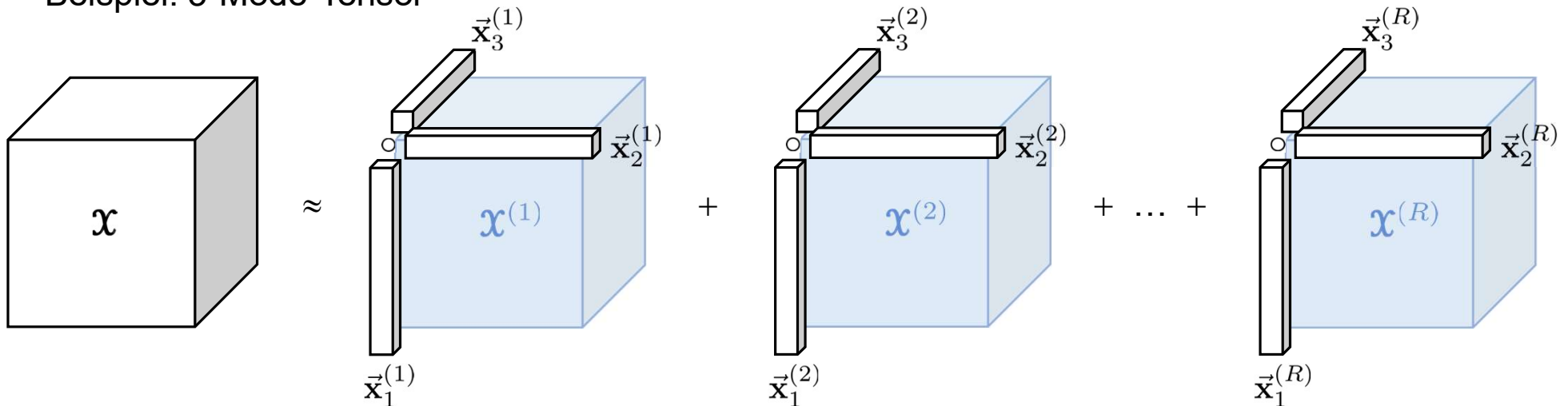
- Rang-1-Tensoren (kurz R1-Tensor)
 - ein N -Mode-Tensor \mathcal{X} ist vom Rang 1 $\Leftrightarrow \mathcal{X} = \vec{x}_1 \circ \vec{x}_2 \circ \dots \circ \vec{x}_N$
- Beispiel: 3-Mode-R1-Tensor



- Berechnung der Elemente eines N -Mode-R1-Tensors als $x_{i_1 i_2 \dots i_N} = x_{1,i_1} \cdot x_{2,i_2} \cdot \dots \cdot x_{N,i_N}$

Tensorfaktorisierung

- CANDECOMP / PARAFAC (*canonical decomposition / parallel factors*; kurz CP)
 - Idee: Zerlegung eines N -Mode-Tensors \mathcal{X} in R Rang-1-Tensoren
- Beispiel: 3-Mode-Tensor



- Problem: $\text{Rang}(\mathcal{X}) = R$ ist a-priori **nicht bekannt**

Tensorfaktorisierung

- CANDECOMP / PARAFAC

- CP berechnet für einen N -Mode-Tensor \mathcal{X} folgende Zerlegung

$$\mathcal{X} \approx \sum_{r=1}^R \vec{\mathbf{x}}_1^{(r)} \circ \vec{\mathbf{x}}_2^{(r)} \circ \dots \circ \vec{\mathbf{x}}_N^{(r)}$$

- Vektoren $\vec{\mathbf{x}}_i^{(1)}, \vec{\mathbf{x}}_i^{(2)}, \dots, \vec{\mathbf{x}}_i^{(R)}$ der i -ten Dimension definieren die Spalten einer Matrix \mathbf{A}_i

$$\mathbf{A}_1 = \begin{pmatrix} \vec{\mathbf{x}}_1^{(1)} & \vec{\mathbf{x}}_1^{(2)} & \dots & \vec{\mathbf{x}}_1^{(R)} \end{pmatrix}, \mathbf{A}_2 = \begin{pmatrix} \vec{\mathbf{x}}_2^{(1)} & \vec{\mathbf{x}}_2^{(2)} & \dots & \vec{\mathbf{x}}_2^{(R)} \end{pmatrix}, \dots, \mathbf{A}_N = \begin{pmatrix} \vec{\mathbf{x}}_N^{(1)} & \vec{\mathbf{x}}_N^{(2)} & \dots & \vec{\mathbf{x}}_N^{(R)} \end{pmatrix}$$

- mithilfe der **Faktormatrizen** \mathbf{A}_i lässt sich Tensor \mathcal{X} auch schreiben als

$$\mathcal{X} \approx [\mathbf{A}_1, \mathbf{A}_2, \dots, \mathbf{A}_N] \quad \text{bzw.} \quad \mathcal{X} \approx [\vec{\lambda}; \mathbf{A}_1, \mathbf{A}_2, \dots, \mathbf{A}_N]$$

R -dimensionaler Vektor mit Gewichten (Normierung)

Tensorfaktorisierung



- Erzeugen eines Tensors \mathcal{X} ($3 \times 4 \times 2$)

```
X = np.arange(24.).reshape((3, 4, 2))  
X = X + 1.    // Zahlen liegen in [1.,24.]
```

- CP-Faktorisierung $\mathcal{X} \rightarrow [\mathbf{A}_1, \mathbf{A}_2, \mathbf{A}_3]$

```
from tensorly.decomposition import parafac  
factors = parafac(X, rank)
```

- Tensor aus Faktormatrizen rekonstruieren $[\mathbf{A}_1, \mathbf{A}_2, \mathbf{A}_3] \rightarrow \hat{\mathcal{X}}$

```
X_rec = tl.kruskal_to_tensor(factors)  
tl.norm(X - X_rec)
```

Tensorfaktorisierung



- mal wieder Lora... (Bildkompression durch CP-Faktorisierung)

```
import tensorly as tl
from tensorly.decomposition import parafac

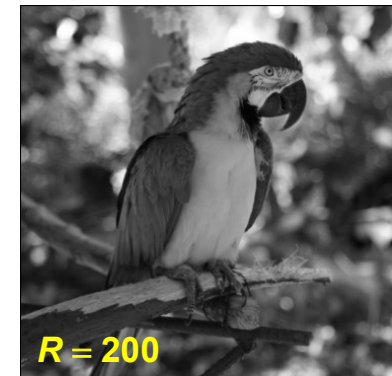
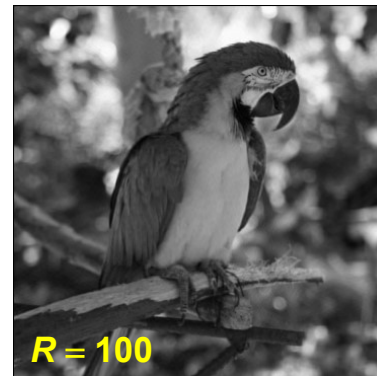
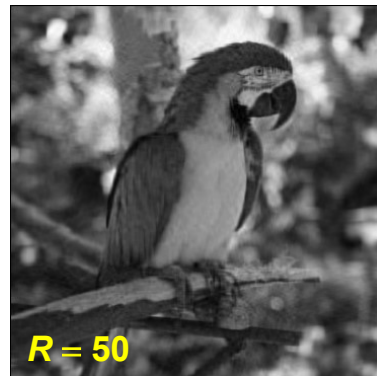
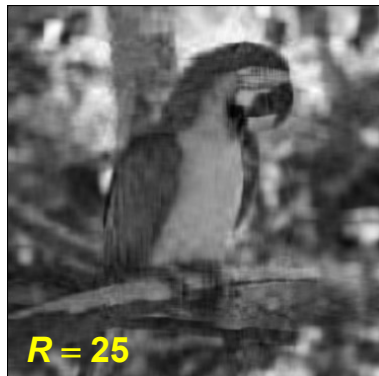
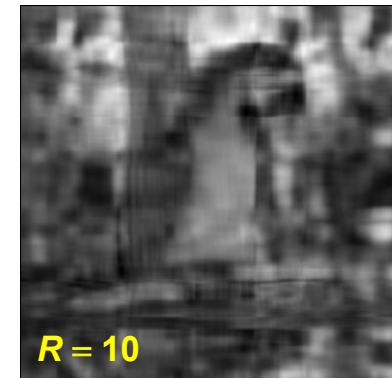
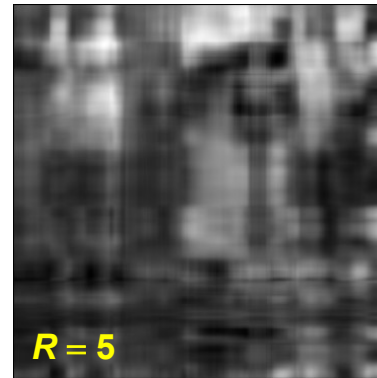
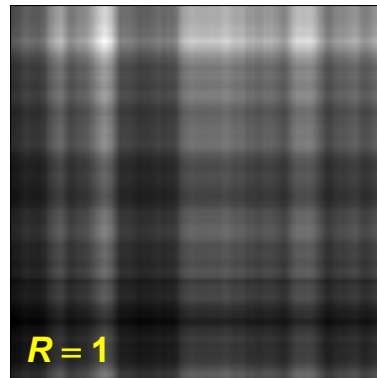
img = plt.imread('papa.png')

factors = parafac(img, rank ∈ {1,5,10,25,50,100,200})
img_rec = tl.kruskal_to_tensor(factors)

plt.imshow(img_rec, cmap='gray')
plt.show()
```

Tensorfaktorisierung

- mal wieder Lora... (Bildkompression durch CP-Faktorisierung)



Tensorfaktorisierung

- was passiert hier...?

- Vorüberlegung: Matrifizierung eines 3-Mode-Tensors $\mathcal{X} \approx [\mathbf{A}_1, \mathbf{A}_2, \mathbf{A}_3]$

$$\mathbf{X}_{(1)} \approx \mathbf{A}_1(\mathbf{A}_3 \odot \mathbf{A}_2)^T$$

$$\mathbf{X}_{(2)} \approx \mathbf{A}_2(\mathbf{A}_3 \odot \mathbf{A}_1)^T$$

$$\mathbf{X}_{(3)} \approx \mathbf{A}_3(\mathbf{A}_2 \odot \mathbf{A}_1)^T$$

- oder allgemein für einen N -Mode-Tensor $\mathcal{X} \approx [\mathbf{A}_1, \mathbf{A}_2, \dots, \mathbf{A}_N]$

$$\mathbf{X}_{(n)} \approx \mathbf{A}_n(\mathbf{A}_N \odot \mathbf{A}_{N-1} \odot \dots \odot \mathbf{A}_{n+1} \odot \mathbf{A}_{n-1} \odot \dots \odot \mathbf{A}_2 \odot \mathbf{A}_1)^T$$

Tensorfaktorisierung

- Idee für Algorithmus
 - Beispiel: 3-Mode-Tensor \mathcal{X} mit $\text{Rang}(\mathcal{X}) = R$

wiederhole

fixiere $\mathbf{A}_2, \mathbf{A}_3 \Rightarrow$ löse für \mathbf{A}_1
fixiere $\mathbf{A}_1, \mathbf{A}_3 \Rightarrow$ löse für \mathbf{A}_2
fixiere $\mathbf{A}_1, \mathbf{A}_2 \Rightarrow$ löse für \mathbf{A}_3

bis $\|\mathcal{X} - \hat{\mathcal{X}}\| < \varepsilon$

mit $\hat{\mathcal{X}} = [\![\mathbf{A}_1, \mathbf{A}_2, \mathbf{A}_3]\!]$

- Lösung für \mathbf{A}_i mittels Verfahren der kleinsten Fehlerquadrate (Stichwort: Regression), z.B.

$$\min_{\hat{\mathbf{A}}_1} \|\mathbf{X}_{(1)} - \hat{\mathbf{A}}_1(\mathbf{A}_3 \odot \mathbf{A}_2)^T\| \quad \Leftrightarrow \quad \hat{\mathbf{A}}_1 = \mathbf{X}_{(1)}(\mathbf{A}_3 \odot \mathbf{A}_2)(\mathbf{A}_3^T \mathbf{A}_3 * \mathbf{A}_2^T \mathbf{A}_2)^+$$

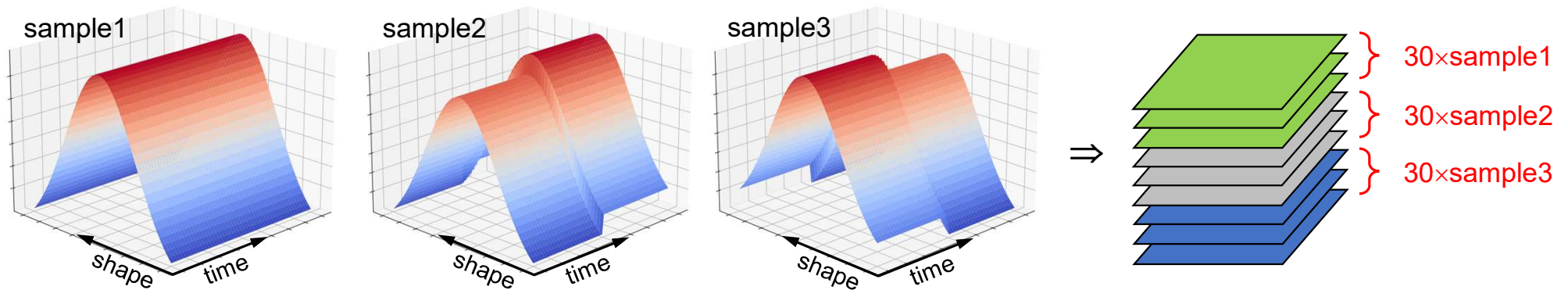
Tensorfaktorisierung

- zwei Probleme bleiben
 - 1) wie werden die \mathbf{A}_i initialisiert...?
 - 2) wie wird $\text{Rang}(\mathcal{X})$ bestimmt...?
- Problem (1): Initialisierung der \mathbf{A}_i
 - berechne $\text{SVD}(\mathbf{X}_{(i)}) = \mathbf{U} \cdot \mathbf{\Sigma} \cdot \mathbf{V}^T$ und initialisiere \mathbf{A}_i mit den linken R Spalten von \mathbf{U}
- Problem (2): Bestimmung $\text{Rang}(\mathcal{X})$
 - simpler, ABER ineffizienter Algorithmus
 - i. setze $R = 1$
 - ii. berechne Zerlegung $\hat{\mathcal{X}}$ und bestimme Fehler $\|\mathcal{X} - \hat{\mathcal{X}}\|$
 - iii. erhöhe R um 1 und wiederhole Schritt (ii) bis sich Fehler nicht mehr (gross) verändert

Tensorfaktorisierung



- Beispiel zur Analyse mehrdimensionaler Daten (1)
 - 3-Mode-Tensor mit
 - einem geometrischen Profil (shape)
 - einer zeitlichen Veränderung (time)
 - drei verrauschten Datensätzen (sample)



Tensorfaktorisierung



- Beispiel zur Analyse mehrdimensionaler Daten (1)

- Datei `mytensor.py`

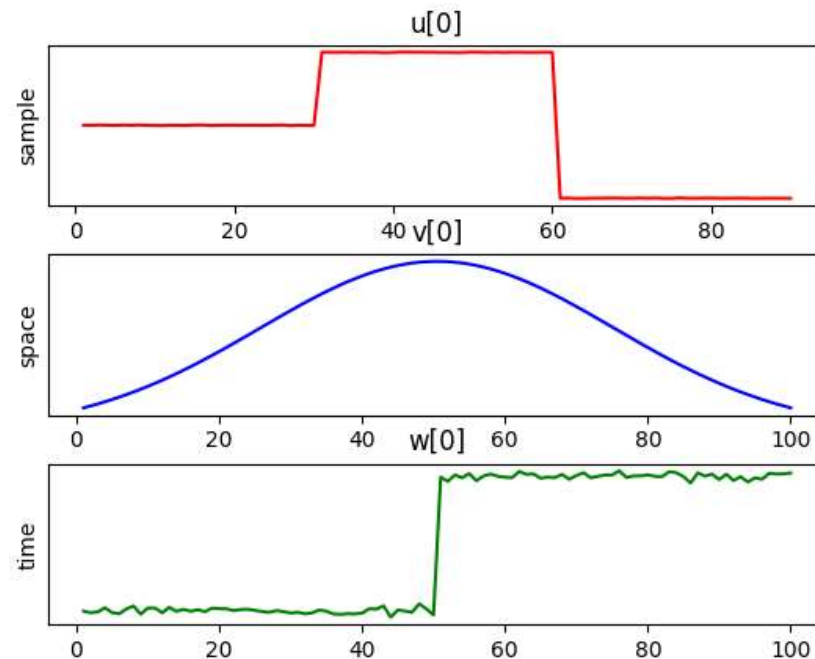
```
from mytensor import gen_tensor_one_feature as gen1f
```

```
from mytensor import plot_uvw_one_feature as plot1f
```

```
X = gen1f()
```

```
w_, fac = parafac(X, 1)
```

```
plot1f(fac)
```

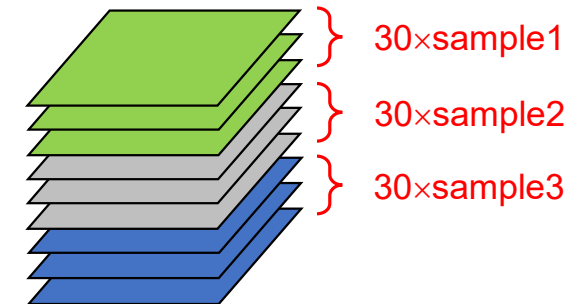
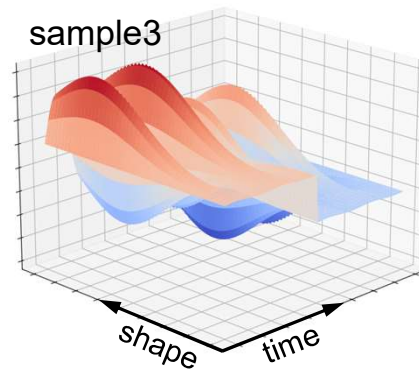
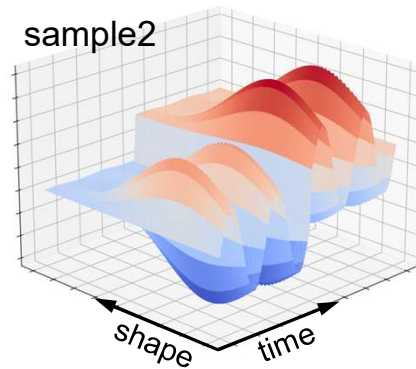
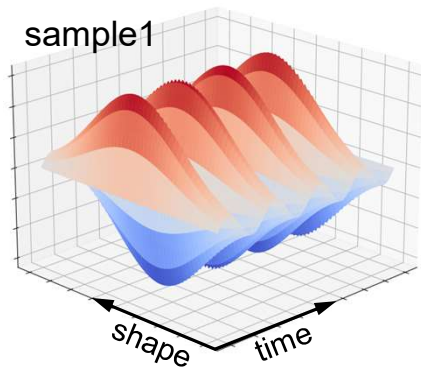


Tensorfaktorisierung

- Beispiel zur Analyse mehrdimensionaler Daten (2)

- 3-Mode-Tensor mit

- verschiedenen geometrischen Profilen (shape)
 - wellenförmiger Ausbreitung und einer zeitlichen Veränderung (time)
 - drei verrauschten Datensätzen (sample)



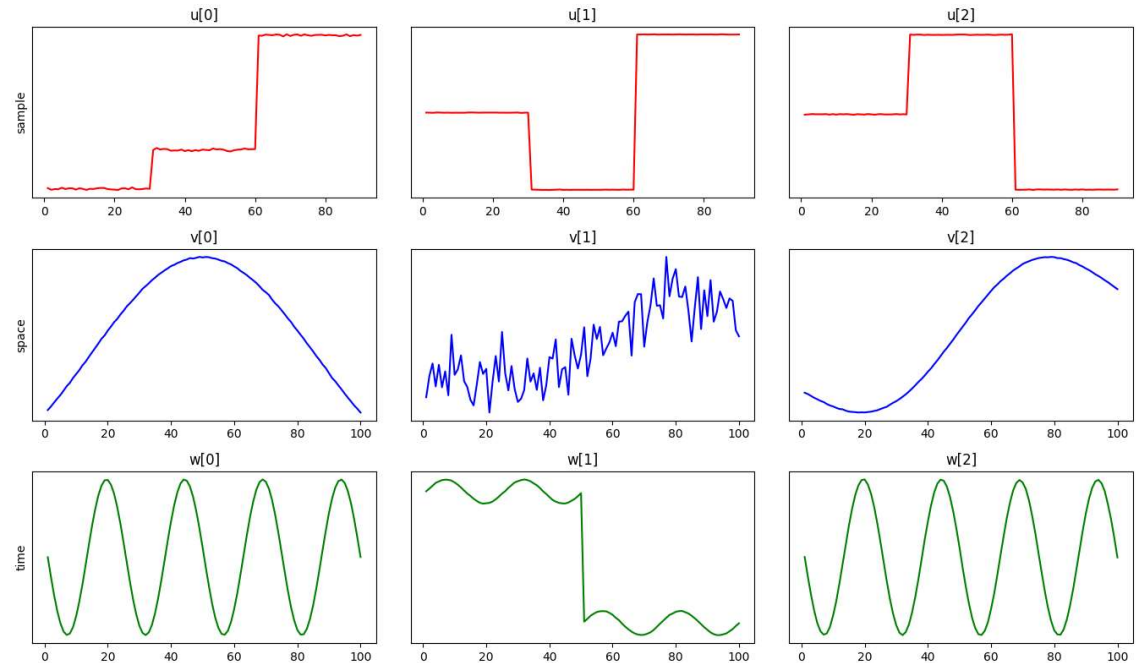
Tensorfaktorisierung



- Beispiel zur Analyse mehrdimensionaler Daten (2)

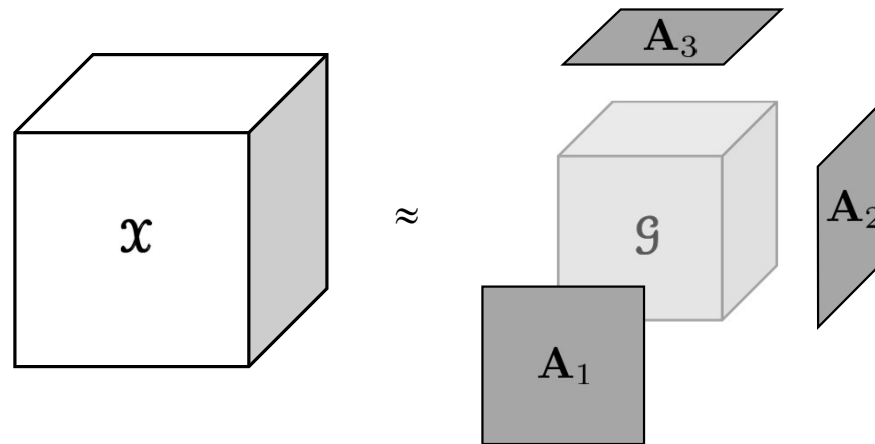
```
from mytensor import gen_tensor_three_feature as gen3f
from mytensor import plot_uvw_three_feature as plot3f
```

```
X = gen3f()
w_, fac = parafac(X, 3)
plot3f(fac)
```



Tensorfaktorisierung

- weitere Faktorisierung: Tucker
 - Idee: Zerlegung eines N -Mode-Tensors \mathcal{X} in einen Kerntensor \mathcal{G} plus Faktormatrizen \mathbf{A}_i
- Beispiel: 3-Mode-Tensor



\Rightarrow allgemeine Zerlegung eines N -Mode-Tensors $\mathcal{X} \approx [\![\mathcal{G}; \mathbf{A}_1, \mathbf{A}_2, \dots, \mathbf{A}_N]\!]$

Tensorfaktorisierung



- Tucker-Zerlegung $\mathcal{X} \rightarrow [\mathcal{G}; \mathbf{A}_1, \mathbf{A}_2, \dots, \mathbf{A}_N]$

```
from tensorly.decomposition import tucker  
G, factors = tucker(X, (rank1, rank2, ..., rankN))
```

- Tensor rekonstruieren $[\mathcal{G}; \mathbf{A}_1, \mathbf{A}_2, \dots, \mathbf{A}_N] \rightarrow \hat{\mathcal{X}}$

```
X_rec = tl.tucker_to_tensor((G, factors))  
tl.norm(X - X_rec)
```

- und zum Abschluss nochmal ein bisschen 'Gesichtserkennung'... 😊

Tensorfaktorisierung



- Gesichtserkennung: Olivetti-Datensatz (Paket `sklearn`) – Teil 2

```
from sklearn.datasets import fetch_olivetti_faces  
faces = fetch_olivetti_faces()
```

- Tucker-Zerlegung der Bilder mit Kerntensor $32 \times 32 \times 32$

```
G, fac = tucker(faces.data, (32, 32, 32))
```

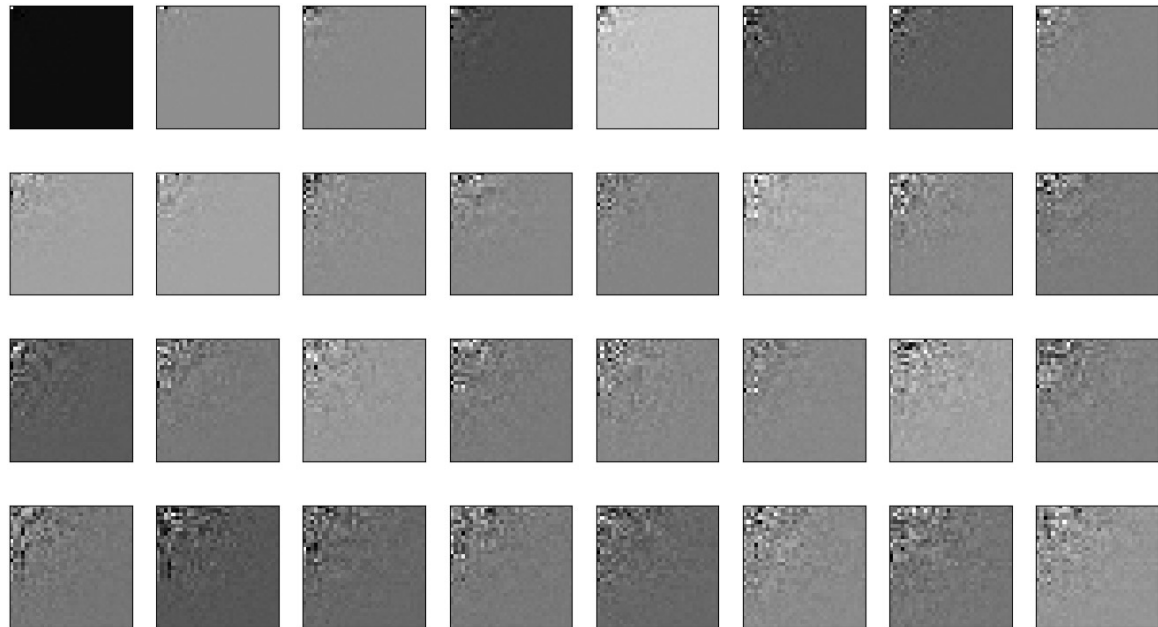
- kurze Rechnung
 - Originaldatensatz: $40 \times 10 \times 64 \times 64 = 1'638'400$ Datenpunkte (~ 6.25 MByte)
 - komprimierter Datensatz: $32 \times 32 \times 32 = 32'768$ Datenpunkte (~ 128 KByte)
 - d.h. Kompressionsrate von 1:50 \rightarrow entspricht 2% des Originalaufwands
 - Frage: ist die verbliebene (latente) Information brauchbar...?

Tensorfaktorisierung



- Gesichtserkennung: Olivetti-Datensatz (Paket `sklearn`) – Teil 2
 - was steckt eigentlich im Kerntensor...?

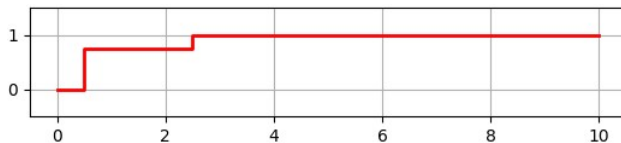
```
G, fac = tucker(faces.images, (32,32,32))  
plot_faces(G, 4, 8, rnd=False)
```



Tensorfaktorisierung



- Gesichtserkennung: Olivetti-Datensatz (Paket `sklearn`) – Teil 2
 - Vorgehen
 - Tucker-Zerlegung des Bilddatensatzes `faces.data` (→ Kompression auf 2%)
 - Rekonstruktion der komprimierten Daten als `x_rec`
 - Rest analog zur Aufgabe LDA (Teil 4)
 - Aufteilung von `x_rec` und `y_true` in Training- und Testdaten (4 Bilder → 1%)
 - `fit(n_components = 3)` und `transform()` der Trainings-/Testdaten mittels LDA
 - Anlernen (`fit()`) eines *k*-NN auf den projizierten Trainingsdaten für $k \in [1, 10]$
 - Klassifikation (`predict()`) und Ausgabe der Treffsicherheit (`accuracy_score()`)



$n_components = 3$ (Tucker + LDA)



$n_components = 3$ (LDA)

Tensorfaktorisierung



- Gesichtserkennung: Olivetti-Datensatz (Paket `sklearn`) – Teil 2
 - Rücktransformation der komprimierten & projizierten Trainingsdaten (*Fisherfaces*)



Zusammenfassung

- was haben wir gesehen / gemacht...
 - Bestimmung der Tendenz eines Datensatzes (Lineare Regression)
 - Klassifikation
 - k -Nächste-Nachbarn (überwachtes Lernen)
 - k -Mitten (unüberwachtes Lernen)
 - Dimensionsreduktion
 - Hauptkomponentenanalyse (PCA)
 - Lineare Diskriminanzanalyse (LDA)
 - Tensorfaktorisierung
 - Datenanalyse
 - Kompression



Quelle: ampro.fr

Danke!